

Metody Numeryczne

Równania różniczkowe zwyczajne

Wojciech Szewczuk

Zagadnienie początkowe

$$x' = f(t, x), \quad x(t_0) = x_0 \quad (1)$$

Zagadnienie początkowe – istnienie

Nie każde zagadnienie początkowe (1) ma rozwiązanie!

Twierdzenie 1

Jeśli dla pewnych $\alpha, \beta > 0$ funkcja f jest ciągła w prostokącie

$$R := \{(t, x) : |t - t_0| \leq \alpha, \quad |x - x_0| \leq \beta\}, \quad (2)$$

to zagadnienie (1) ma rozwiązanie $x(t)$ dla $|t - t_0| \leq \min\{\alpha, \beta/M\}$, gdzie $M := \max_{t, x \in \mathbb{R}} |f(t, x)|$.

Przykład 1

Rozważmy równanie różniczkowe z warunkiem początkowym

$$x' = (t + \sin x)^2, \quad x(0) = 3$$

Gdzie istnieje rozwiązanie?

Funkcja $(t + \sin x)^2$ jest ciągła na całej płaszczyźnie (t, x) , a więc α i β w definicji prostokąta mogą być dowolne. Stała M w twierdzeniu 1 nie przewyższa $(\alpha + 1)^2$. Jeśli $\beta = \alpha(\alpha + 1)^2$, to $\min\{\alpha, \beta/M\} = \alpha$, więc rozwiązanie istnieje na całej prostej rzeczywistej.

Zagadnienie początkowe – jednoznaczność

Zagadnienie początkowe (1) może mieć wiele rozwiązań!

Przykład 2

$$x' = x^{2/3}, \quad x(0) = 0$$

Rozwiązaniem jest funkcja $x(t) = 0$ oraz $x(t) = t^3/27$.

Dla zapewnienia jednoznaczności o f trzeba coś założyć.

Twierdzenie 2

Jeśli funkcje f i $\partial f / \partial x$ są ciągłe w prostokącie

$$R := \{(t, x) : |t - t_0| \leq \alpha, \quad |x - x_0| \leq \beta\},$$

to dla $|t - t_0| < \min \{\alpha, \beta/M\}$ zagadnienie początkowe (1) ma jednoznaczne rozwiązanie.

$$M := \max_{t, x \in \mathbb{R}} |f(t, x)|.$$

Zagadnienie początkowe – jednoznaczność

Istnienie i jednoznaczność w danym przedziale $[a, b]$ zapewnia następujące twierdzenie:

Twierdzenie 3

Jeśli funkcja f jest ciągła dla $a \leq t \leq b$, $-\infty < x < \infty$ i jeśli istnieje stała L taka, że :

$$\underbrace{|f(t, x_1) - f(t, x_2)| \leq L|x_1 - x_2|}_{\text{warunek Lipschitza}}, \quad (3)$$

to zagadnienie początkowe $x' = f(t, x)$, $x(a) = \alpha$ ma w przedziale $[a, b]$ jednoznaczne rozwiązanie.

Przykład 3

Pokażemy, że funkcja $g(x) = \sum_{i=1}^n a_i |x - w_i|$ spełnia warunek Lipschitza ze stałą $L = \sum_{i=1}^n |a_i|$.

$$|g(x_1) - g(x_2)| = \left| \sum_{i=1}^n a_i |x_1 - w_i| - \sum_{i=1}^n a_i |x_2 - w_i| \right| \leq$$

$$\sum_{i=1}^n |a_i| \left| |x_1 - w_i| - |x_2 - w_i| \right| \leq$$

$$\sum_{i=1}^n |a_i| |x_1 - x_2| = L |x_1 - x_2|.$$

Zastosowanie wzoru Taylora

Rozważmy zagadnienie:

$$x' = \cos t - \sin x + t^2, \quad x(-1) = 3. \quad (4)$$

Napiszmy wzór Taylora z uwzględnieniem składników do czwartej pochodnej

$$x(t+h) \approx x(t) + hx'(t) + \frac{1}{2!}h^2x''(t) + \frac{1}{3!}h^3x'''(t) + \frac{1}{4!}h^4x^{(4)}(t). \quad (5)$$

Nieznane wyrazy wyznaczmy różniczkując obustronnie równanie (4)

$$\begin{aligned} x'' &= -\sin t - x' \cos x + 2t \\ x''' &= -\cos t - x'' \cos x + (x')^2 \sin x + 2 \\ x^{(4)} &= \sin t - x''' \cos x + 3x'x'' \sin x + (x')^3 \cos x \end{aligned} \quad (6)$$

- używając rozwiązania w punkcie t używamy równania (5) do wyznaczenia rozwiązania w punkcie $(t+h)$ itd.
- metoda jest rzędu czwartego, $\mathcal{O}(h^4)$

Zastosowanie wzoru Taylora

Realizacja metody opartej o wzór (5) dla zagadnienia (4) może wyglądać następująco:

```
input M, h, t, x
M ← 200
h ← 0.01
t ← -1
x ← 3
output 0, t, x
for k = 1 to M do
  x' ← cos t - sin x + t2
  x'' ← -sin t - x' cos x + 2t
  x''' ← -cos t - x'' cos x + (x')2 sin x + 2
  x(4) ← sin t + ((x')3 - x''') cos x + 3x'x'' sin x
  x ← x + h (x' +  $\frac{1}{2}h(x'' + \frac{1}{3}h(x''' + \frac{1}{4}hx^{(4)}))$ )
  t ← t + h
  output k, t, x
end do
```

Zastosowanie wzoru Taylora

Wady:

- trzeba wielokrotnie różniczkować funkcję f
- pochodne cząstkowe f muszą istnieć w obszarze przez, który przechodzi rozwiązanie

Zalety:

- prostota
- możliwa do osiągnięcia wysoka dokładność

Odrzucona reszta w metodzie opartej na wzorze Taylora wynosi:

$$E_n := \frac{1}{(n+1)!} h^{n+1} x^{(n+1)}(t + \theta h) \quad (0 < \theta < 1). \quad (7)$$

Jest to **błąd lokalny** metody.

Nieznana $(n+1)$ -szą pochodną można przybliżyć:

$$E_n \approx \frac{1}{(n+1)!} h^n \left[x^{(n)}(t+h) - x^{(n)}(t) \right]. \quad (8)$$

Ogólnie błędy można podzielić na:

- Błąd lokalny metody.
- Błąd lokalny zaokrąglenia.
- Błąd globalny metody.
- Błąd globalny zaokrąglenia.
- Błąd całkowity.

Błąd lokalny jest skutkiem obcięcia procesu (wyrażenia) nieskończonego do postaci skończonej.

Skutki wszystkich błędów lokalnych metody kumulują się i dają **błąd globalny**. Błędy lokalne $\mathcal{O}(h^{n+1})$ dają błąd globalny równy co najmniej $\mathcal{O}(h^n)$, bo liczba kroków potrzebna do przejścia od t_0 do dowolnego T wynosi $(T - t_0)/h$.

Błąd lokalny zaokrąglenia jest spowodowany ograniczoną precyzją obliczeń i jest zależny od używanego typu zmiennych.

Błąd lokalny zaokrąglenia wpływa na obliczane później wartości i determinuje **błąd globalny zaokrąglenia**.

Błąd całkowity jest sumą błędów globalnych metody i zaokrąglenia.

Metoda Eulera jest najprostszą metodą rozwiązywania równań różniczkowych zwyczajnych opartą na wzorze Taylora. Jest to metoda rzędu pierwszego.

$$x(t + h) \approx x(t) + hf(t, x) \quad (9)$$

- Zaleta: nie trzeba różniczkować f
- Wada: trzeba wybrać bardzo małe h

Metoda Rungego-Kutty

Rozwiązanie zagadnienia początkowego:

$$x' = f(t, x) \quad x(t_0) \quad (10)$$

za pomocą metody [Rungego-Kutty](#) wymaga obliczenia dobranych w szczególny sposób wartości funkcji f zamiast pochodnych stosowanych w metodach opartych na wzorze Taylora.

Metoda Rungego-Kutty rzędu drugiego

$$x'(t) = f, \quad (11)$$

$$x''(t) = f_t + f_x x' = f_t + ff_x, \quad (12)$$

$$x'''(t) = f_{tt} + f_{tx}f + (f_t + ff_x)f_x + f(f_{xt} + ff_{xx}), \dots \quad (13)$$

(11) – (13) podstawiamy do wzoru Taylora:

$$\begin{aligned} x(t+h) &= x + fh + \frac{1}{2}h^2(f_t + ff_x) + \mathcal{O}(h^3) = \\ &= x + \frac{1}{2}hf + \frac{1}{2}h(f + hf_t + hff_x) + \mathcal{O}(h^3) \end{aligned} \quad (14)$$

Metoda Rungego-Kutty rzędu drugiego

Pochodne cząstkowe w równaniu (14) można wyeliminować stosując wzór Taylora dla funkcji dwóch zmiennych:

$$f(t+h, x+hf) = f + hf_t + hff_x + \mathcal{O}(h^2). \quad (15)$$

Wstawiając to do równania (14) otrzymamy:

$$x(t+h) = x + \frac{1}{2}hf + \frac{1}{2}hf(t+h, x+hf) + \mathcal{O}(h^3) \quad (16)$$

A więc możemy napisać:

$$x(t+h) \approx x(t) + \frac{1}{2}(F_1 + F_2), \quad (17)$$

gdzie

$$F_1 := hf(t, x), \quad F_2 := hf(t+h, x+F_1).$$

Wzór (17) definiuje metodą **Rungego-Kutty rzędu drugiego**, znaną też jako metoda **Heuna**.

Metoda Rungego-Kutty rzędu drugiego

Ogólnie, każda metoda Rungego-Kutty rzędu drugiego wynika ze wzoru:

$$x(t+h) = x + w_1 hf + w_2 hf(t + \alpha h, x + \beta hf) + \mathcal{O}(h^3), \quad (18)$$

gdzie w_1 , w_2 , α , β są parametrami. Równość (18) zachodzi jeśli

$$x(t+h) = x + w_1 hf + w_2 h(f + \alpha hf_t + \beta hff_x) + \mathcal{O}(h^3). \quad (19)$$

Porównując (19) z (14), wnioskujemy, że:

$$\begin{aligned} w_1 + w_2 &= 1, \\ w_2 \alpha &= \frac{1}{2}, \\ w_2 \beta &= \frac{1}{2}. \end{aligned} \quad (20)$$

Metoda Rungego-Kutty rzędu drugiego

Jedno z rozwiązań układu (20)

$$(w_1 = w_2 = \frac{1}{2}, \alpha = \beta = 1)$$

daje metodę [Heuna](#), ale możemy też przyjąć np.:

$$(w_1 = 0, w_2 = 1, \alpha = \beta = \frac{1}{2}),$$

co da nam [zmodyfikowaną metodę Eulera](#):

$$x(t+h) \approx x(t) + F_2, \tag{21}$$

gdzie

$$F_1 := hf(t, x), \quad F_2 := hf\left(t + \frac{1}{2}h, x + \frac{1}{2}F_1\right).$$

Metoda Rungego-Kutty rzędu czwartego

$$x(t+h) \approx x(t) + \frac{1}{6}(F_1 + 2F_2 + 2F_3 + F_4), \quad (22)$$

gdzie

$$F_1 := hf(t, x),$$

$$F_2 := hf\left(t + \frac{1}{2}h, x + \frac{1}{2}F_1\right),$$

$$F_3 := hf\left(t + \frac{1}{2}h, x + \frac{1}{2}F_2\right),$$

$$F_4 := hf(t+h, x+F_3).$$

Błąd wzoru (22) wynosi $\mathcal{O}(h^5)$.

Metoda Rungego-Kutty rzędu czwartego

Przykład 4

$$x' = t^{-2}(tx - x^2), \quad x(1) = 2.$$

Rozwiązania powyższego zagadnienie początkowe poszukamy w przedziale $[1, 3]$ dla $h = 1/128$.

Rozwiązanie analityczne: $x(t) = t(\frac{1}{2} + \log t)^{-1}$.

Zastosowanie metody R-K rzędu czwartego sprowadzi się do użycia algorytmu:

```
input M ← 256, t ← 1.0, x ← 2.0, h ← 1/128
define f(t, x) = (tx - x2)/t2
define u(t) = t/(1/2 + log t)
for k = 1 to M do
  F1 ← hf(t, x)
  F2 ← hf(t +  $\frac{1}{2}h$ , x +  $\frac{1}{2}F_1$ )
  F3 ← hf(t +  $\frac{1}{2}h$ , x +  $\frac{1}{2}F_2$ )
  F4 ← hf(t + h, x + F3)
  x ← x + (F1 + 2F2 + 2F3 + F4)/6
  t ← t + h
  output k, t, x | u(t) - x|
end do
```

Metoda Rungego-Kutty rzędu czwartego

Przykład c.d.

h	t	x	$ u(t) - x $
0	1	2	0
1	1.00781	1.98473	1.2×10^{-7}
2	1.01563	1.97016	0
9	1.07031	1.88452	0
249	2.94531	1.86387	7.2×10^{-7}
256	3.00000	1.87663	6×10^{-7}

Metoda Rungego-Kutty rzędu czwartego – błąd lokalny

Pierwszy krok metody R-K rzędu czwartego (22) daje rozwiązanie przybliżone $\tilde{x}(t_0 + h)$.

Błąd lokalny metody wynosi:

$$x(t_0 + h) - \tilde{x}(t_0 + h).$$

- Dla małych h błąd lokalny zachowuje się jak Ch^5 .
- Nieznane C zależy od t_0 i rozwiązania x .
- C nie zależy od h .

Metoda Rungego-Kutty rzędu czwartego – błąd lokalny

- Aby oszacować iloczyn Ch^5 założmy, że C lokalnie jest stałe.
- Niech $\hat{x}(t_0 + h)$ będzie rozwiązaniem przybliżonym otrzymanym z $x(t_0)$ za pomocą dwóch kroków metody, z $h/2$ zamiast h .

$$x(t_0 + h) = \tilde{x}(t_0 + h) + Ch^5 \quad (23)$$

$$x(t_0 + h) = \hat{x}(t_0 + h) + 2C(h/2)^5 \quad (24)$$

Z równań (23) i (24) otrzymujemy błąd lokalny:

$$Ch^5 = \frac{15}{16} [\hat{x}(t_0 + h) - \tilde{x}(t_0 + h)] \approx \hat{x}(t_0 + h) - \tilde{x}(t_0 + h) \quad (25)$$

Metoda adaptacyjna Rungego-Kutty-Fehlberga

Liczba wartości funkcji:	1	2	3	4	5	6	7	8
Maksymalny rząd metody R-K:	1	2	3	4	4	5	6	6

Metoda adaptacyjna Rungego-Kutty-Fehlberga – algorytm

$$\hat{x} = x(t) + \sum_{i=1}^6 a_i F_i \quad (26)$$

$$\tilde{x} = x(t) + \sum_{i=1}^6 b_i F_i \quad (27)$$

$$F_i = hf \left(t + c_i h, x + \sum_{j=1}^{i-1} d_{ij} F_j \right) \quad (1 \leq i \leq 6) \quad (28)$$

$$e = \hat{x}(t+h) - \tilde{x}(t+h) = \sum_{i=1}^6 (a_i - b_i) F_i \quad (29)$$

Metoda adaptacyjna Rungego-Kutty-Fehlberga – algorytm

i	a_i	$a_i - b_i$	c_i	d_{i1}	d_{i2}	d_{i3}	d_{i4}	d_{i5}
1	$\frac{16}{135}$	$\frac{1}{360}$	0					
2	0	0	$\frac{1}{4}$	$\frac{1}{4}$				
3	$\frac{6656}{12825}$	$-\frac{128}{4275}$	$\frac{3}{8}$	$\frac{3}{32}$	$\frac{9}{32}$			
4	$\frac{28561}{56430}$	$-\frac{2197}{75240}$	$\frac{12}{13}$	$\frac{1932}{2197}$	$-\frac{7200}{2197}$	$\frac{7296}{2197}$		
5	$-\frac{9}{50}$	$\frac{1}{50}$	1	$\frac{439}{216}$	-8	$\frac{3680}{513}$	$-\frac{845}{4104}$	
6	$\frac{2}{55}$	$\frac{2}{55}$	$\frac{1}{2}$	$-\frac{8}{27}$	2	$-\frac{3544}{2565}$	$\frac{1859}{4104}$	$-\frac{11}{40}$

Metoda adaptacyjna Rungego-Kutty-Fehlberga – algorytm

$$x' = f(t, x) \qquad x(a) = \alpha$$

- ustalamy początkowy krok $h > 0$
- ustalamy wielkość δ , której e nie powinno przekroczyć
- ustalamy maksymalną liczbę M kroków
- podwajamy h , gdy $|e| < \delta/128$ ($e \approx Ch^5 \Rightarrow e < \delta/4$)

Metoda adaptacyjna Rungego-Kutty-Fehlberga – algorytm

```
input  $a, \alpha, b, h, \delta, M$ 
 $t \leftarrow a; x \leftarrow \alpha$ 
 $k \leftarrow 0; \text{iflag} \leftarrow 1$ 
while  $k < M$  do
   $d \leftarrow b - t$ 
  if  $|d| \leq h$  then
     $\text{iflag} \leftarrow 0$ 
     $h \leftarrow d$ 
  end if
   $y \leftarrow x$ 
  compute  $F_1, F_2, \dots, F_6$  z wzoru (28)
  compute  $x$  z wzoru (26)
  compute  $e$  z wzoru (29)
  if  $|e| \geq \delta$  then
     $h \leftarrow h/2; x \leftarrow y$ 
  else
    if  $|e| \leq \delta/128$  then
       $h \leftarrow 2h; x \leftarrow y$ 
    else
       $t \leftarrow t + h; k \leftarrow k + 1$ 
      output  $k, t, x, e$ 
      if  $\text{iflag} = 0$  then stop
    end if
  end if
end while
```

Alternatywnie wielkością h można sterować za pomocą wzoru

$$h = 0.9h[\delta/|e|]^{1/(1+p)}, \quad (30)$$

gdzie p jest rzędem dokładniejszego wzoru z pary (26), (27).

Metody wielokrokowe

- **Metody jednokrokowe** – przejście z punktu t do $t + h$ wymaga znajomości tylko jednej wartości rozwiązania, mianowicie $x(t)$
- **Metody wielokrokowe** – wartość funkcji x w nowym punkcie wyraża się przez jej wartości w kilku punktach

Rozważmy zagadnienie początkowe:

$$x'(t) = f(t, x), \quad x(t_0) = x_0. \quad (31)$$

Całkujemy obie strony równania (26):

$$x(t_{n+1}) = x(t_n) + \int_{t_n}^{t_{n+1}} f(t, x(t)) dt. \quad (32)$$

Całkę po prawej stronie można obliczać numerycznie, stosując kwadraturę z węzłami t_i .

Metody wielokrokowe – wzór Adamsa-Bashfortha

Weźmy

$$f_i := f(t_i, x_i),$$

gdzie x_i jest przybliżoną wartością rozwiązania w punkcie t_i .

Wynikające z (27) wzory:

$$x_{n+1} = x_n + af_n + bf_{n-1} + cf_{n-2} + \dots \quad (33)$$

nazywamy wzorami [Adamsa-Bashfortha](#).

Jednym z nich jest wzór rzędu piątego, poprawny przy założeniu, że

$t_i = t_0 + ih \ (i \geq 1)$:

$$x_{n+1} = x_n + \frac{1}{720}h(1901f_n - 2774f_{n-1} + 2616f_{n-2} - 1274f_{n-3} + 251f_{n-4}) \quad (34)$$

Równanie (29) wynika z następującego przybliżenia całki (27):

$$\int_{t_n}^{t_{n+1}} f(t, x(t)) dt \approx h(Af_n + Bf_{n-1} + Cf_{n-2} + Df_{n-3} + Ef_{n-4}). \quad (35)$$

Współczynniki A, B, \dots, E określamy tak, aby powyższa równość przybliżona była dokładna, gdy tylko $f(t, x(t))$ jest wielomianem klasy Π_4 .

Metody wielokrokowe – wzór Adamsa-Moultona

Przyjmując, że wartość przybliżona całki (32) może zależeć także od f_{n+1} otrzymamy wzory **Adamsa-Moultona**.

$$x_{n+1} = x_n + af_{n+1} + bf_n + cf_{n-1} + \dots \quad (36)$$

Do tej klasy należy wzór rzędu piątego poprawny dla $t_i = t_0 + ih$:

$$x_{n+1} = x_n + \frac{1}{720}h(251f_{n+1} + 646f_n - 264f_{n-1} + 106f_{n-2} - 19f_{n-3}) \quad (37)$$

Wzór Adamsa-Moultona daje lepszą dokładność niż wzór Adamsa-Bashfortha, ale szukane x_{n+1} występuje także po prawej stronie, w f_{n+1} .

- wstępną wartość x_{n+1}^* możemy wyznaczyć z wzoru Adamsa-Bashfortha
- wzór Adamsa-Moultona z $f(t_{n+1}, x_{n+1}^*)$ po prawej stronie daje poprawioną wartość x_{n+1}
- metoda typu **predyktor-korektor** – **ekstrapolacyjno-interpolacyjna**

Układ równań różniczkowych rzędu pierwszego ma standardową postać:

$$x'_i = f_i(t, x_1, x_2, \dots, x_n) \quad (1 \leq i \leq n). \quad (38)$$

Przykład 5

$$x' = x + 4y$$

$$y' = 4x + 5y$$

$$x(\ln 3) = 1$$

$$y(\ln 3) = 2$$

Niech X będzie wektorem kolumnowym o składowych x_1, x_2, \dots, x_n zależnych od t .

- X odwzorowuje \mathbb{R} (lub przedział z \mathbb{R}) w \mathbb{R}^n

Niech F będzie wektorem kolumnowym o składowych f_1, f_2, \dots, f_n . Każda z nich jest określona na przestrzeni \mathbb{R}^{n+1} (lub jej podzbiorze).

- F odwzorowuje \mathbb{R}^{n+1} w \mathbb{R}^n

Układ (38) przybiera postać:

$$X' = F(t, X) \quad (39)$$

Zagadnienie początkowe jest określone przez układ (39) i wartości $X(t_0)$:

$$X' = F(t, X), \quad X(t_0) = X_0. \quad (40)$$

Równania różniczkowe wyższego rzędu

$$y^{(n)} = f(t, y, y', \dots, y^{(n-1)}) \quad (41)$$

Równanie różniczkowe (41) możemy przekształcić na układ równań różniczkowych rzędu pierwszego, wprowadzając nowe zmienne równe pochodnym funkcji y :

$$\begin{aligned} x'_k &= x_{k+1} \quad (1 \leq k \leq n-1), \\ x'_n &= f(t, x_1, x_2, \dots, x_n). \end{aligned} \quad (42)$$

Przykład 6

Przekształcić zagadnienie początkowe:

$$y'' + 3y' + y = 0, \quad y(0) = 1, \quad y'(0) = 0$$

do postaci 40.

Zdefiniujemy nowe zmienne:

$$x_1 = y, \quad x_2 = y'$$

Wtedy:

$$\begin{aligned} x'_1 &= x_2 & x_1(0) &= 1 \\ x'_2 + 3x_2 + x_1 &= 0 \rightarrow x'_2 = -x_1 - 3x_2 & x_2(0) &= 0 \end{aligned}$$

Równania różniczkowe wyższego rzędu

Przykład 7

Przekształcić zagadnienie początkowe:

$$(\sin t)y''' + \cos(ty) + \sin(t^2 + y'') + (y')^3 = \log t,$$

$$y(2) = 7, \quad y'(2) = 3, \quad y''(2) = -4$$

do postaci 40.

Zdefiniujemy nowe zmienne:

$$x_1' = x_2$$

$$x_2' = x_3$$

$$x_3' = \frac{\log t - \cos(tx_1) - \sin(t^2 + x_3) - (x_2)^3}{\sin t}$$

$$x_1(2) = 7, \quad x_2(2) = 3, \quad x_3(2) = -4$$

Zastosowanie wzoru Taylora dla układu równań

$$X(t+h) \approx X(t) + hX'(t) + \frac{1}{2!}h^2X''(t) + \dots + \frac{1}{n!}h^nX^{(n)}(t) \quad (43)$$

Zastosowanie wzoru Taylora dla układu równań

Przykład 8

$$\begin{aligned}x' &= y \\y' &= -x \\x(0) &= 0 \\y(0) &= 1\end{aligned}\tag{44}$$

Rozwiązanie analityczne: $x = \sin t$, $y = \cos t$.

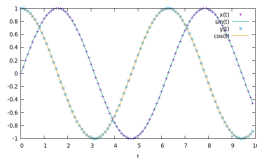
Obliczamy potrzebne pochodne:

$$x'' = y'$$

$$y'' = -x'$$

$$x''' = y''$$

$$y''' = -x''$$



Zastosowanie wzoru Taylora dla układu równań

Obliczenia z przykładu 8 można wykonać według następującego algorytmu:

```
 $t \leftarrow 0; \quad x \leftarrow 0; \quad y \leftarrow 1; \quad h \leftarrow 0.1; \quad M \leftarrow 30$ 
```

```
output 0,  $t$ ,  $x$ ,  $y$   
for  $k = 1$  to  $M$  do
```

```
   $x' \leftarrow y$ 
```

```
   $y' \leftarrow -x$ 
```

```
   $x'' \leftarrow y'$ 
```

```
   $y'' \leftarrow -x'$ 
```

```
   $x''' \leftarrow y''$ 
```

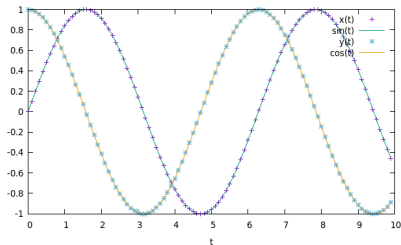
```
   $y''' \leftarrow -x''$ 
```

```
   $x \leftarrow x + h(x' + \frac{1}{2}h(x'' + \frac{1}{3}hx'''))$ 
```

```
   $y \leftarrow y + h(y' + \frac{1}{2}h(y'' + \frac{1}{3}hy'''))$ 
```

```
   $t \leftarrow t + h$   
  output  $k$ ,  $t$ ,  $x$ ,  $y$ 
```

```
end do
```



Klasyczna metoda Rungego-Kutty rzędu czwartego dla układu równań różniczkowych rzędu pierwszego

$$X(t+h) \approx X(t) + \frac{1}{6} (F_1 + 2F_2 + 2F_3 + F_4) \quad (45)$$

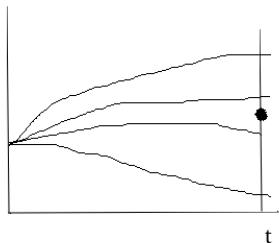
$$\begin{aligned} F_1 &= hF(X), \\ F_2 &= hF(X + \tfrac{1}{2}F_1), \\ F_3 &= hF(X + \tfrac{1}{2}F_2), \\ F_4 &= hF(X + F_3). \end{aligned}$$

Zagadnienie brzegowe

$$x'' = f(t, x, x'), \quad x(a) = \alpha, \quad x(b) = \beta \quad (46)$$

Zagadnienie brzegowe – metoda strzału

- W metodzie strzału zagadnienie brzegowe (46) zamieniamy na zagadnienie początkowe z sensownie dobraną wartością początkową $x'(a)$.
- Rozwiązujemy to nowe zagadnienie , co daje wartość $x(b)$
 - Jeśli wybór $x'(a)$ był trafny, to $x(b) = \beta$ i obliczenia są zakończone.
 - W przeciwnym razie wybieramy inne $x'(a)$ i znów rozwiązujemy zagadnienie początkowe.



Zagadnienie brzegowe – metoda strzału

- z próbna wartość $x'(a)$
- x_z - rozwiązanie zagadnienia początkowego

$$x'' = f(t, x, x'), \quad x(a) = \alpha, \quad x'(a) = z \quad (47)$$

- szukamy takiego parametru z , żeby było $x_z(b) = \beta$.

\Downarrow

Rozwiązujemy równanie

$$\phi(z) = 0, \quad (48)$$

gdzie

$$\phi(z) = x_z(b) - \beta.$$

Metoda siecznych

$$z_n = z_{n-1} - \frac{z_{n-1} - z_{n-2}}{\phi(z_{n-1}) - \phi(z_{n-2})} \phi(z_{n-1}) \quad (n > 2). \quad (49)$$

Zagadnienie brzegowe – metoda strzału

Metoda Newtona

$$z_{n+1} = z_n - \frac{\phi(z_n)}{\phi'(z_n)} \quad (50)$$

Pochodną $\phi'(z_n)$ wyznaczamy różniczkując stronami względem z równości (47):

$$\frac{\partial x''}{\partial z} = \frac{\partial f}{\partial t} \frac{\partial t}{\partial z} + \frac{\partial f}{\partial x} \frac{\partial x}{\partial z} + \frac{\partial f}{\partial x'} \frac{\partial x'}{\partial z}, \quad \frac{\partial x(a)}{\partial z} = 0, \quad \frac{\partial x'(a)}{\partial z} = 1.$$

Uproszczenie i podstawienie $v = \partial x / \partial z$ daje związki

$$v'' = f_x(t, x, x')v + f_{x'}(t, x, x')v', \quad v(\alpha) = 0, \quad v'(\alpha) = 1 \quad (51)$$

opisujące pewne zagadnienie początkowe.

Zagadnienie brzegowe – metoda strzału

- Równanie różniczkowe (51) nazywamy **pierwszym równaniem wariacyjnym**.
- Zagadnienie (51) rozwiązujemy wraz z (47) i dostajemy wartość $v(b)$
- $v(b)$ jest z definicji równe $\partial x_z(b)/\partial z = \phi'(z)$
- teraz możemy zastosować metodę Newtona

Definicja 1

Metoda wielocelowa strzałów polega na tym, że dzielimy przedział $[a,b]$ na podprzedziały i w każdym z nich rozwiązujemy zagadnienie początkowe.

Metoda wielocelowa strzałów

Dla prostoty weźmy tylko dwa przedziały $[a, c]$ i $[c, b]$. Wtedy zagadnienie brzegowe :

$$x'' = f(t, x, x'), \quad x(a) = \alpha, \quad x(b) = \beta \quad (52)$$

generuje dwa zagadnienia początkowe:

$$x_1'' = f(t, x_1, x_1'), \quad x_1(a) = \alpha, \quad x_1'(a) = z_1 \quad (a \leq t \leq c), \quad (53)$$

$$x_2'' = f(t, x_2, x_2'), \quad x_2(b) = \beta, \quad x_2'(b) = z_2 \quad (c \leq t \leq b). \quad (54)$$

Ostatnie zagadnienie rozwiązujemy w kierunku malejącego t .

Parametry z_1, z_2 wybieramy tak, aby rozwiązanie

$$x(t) = \begin{cases} x_1(t) & (a \leq t \leq c) \\ x_2(t) & (c \leq t \leq b) \end{cases}$$

było ciągłe i miało ciągłą pochodną w c .

Mamy zatem do rozwiązania układ równań

$$x_1(c) = x_2(c)$$

$$x_1'(c) = x_2'(c)$$

Powyższy układ zazwyczaj rozwiązujemy metodą Newtona.

Gdy przedział $[a, b]$ dzielimy na k podprzedziałów:

- dostajemy k zagadnień początkowych i ich rozwiązań określonych w tych przedziałach
- warunki ciągłości w punktach podziału dają $2k - 2$ równań
- mamy $2k - 2$ nieznanych parametrów, występujących w warunkach początkowych
- układ równań można rozwiązać metodą Newtona

Zagadnienie brzegowe – różnice skończone

Inne podejście do zagadnienia brzegowego polega na zastąpieniu pochodnych wyrażeniami przybliżonymi:

$$x'(t) = \frac{1}{2h} [x(t+h) - x(t-h)] - \frac{1}{6} h^2 x'''(\xi)$$

$$x''(t) = \frac{1}{h^2} [x(t+h) - 2x(t) + x(t-h)] - \frac{1}{12} h^2 x^{(4)}(\tau)$$

Jak poprzednio rozważamy zagadnienie brzegowe w postaci

$$x'' = f(t, x, x'), \quad x(a) = \alpha, \quad x(b) = \beta.$$

Zagadnienie brzegowe – różnice skończone

Przedział $[a, b]$ dzielimy punktami

$$a = t_0 < t_1 < \dots < t_n < t_{n+1} = b.$$

Dla uproszczenia zagadnienia założmy, że punkty są równoodległe

$$t_i = a + ih \quad (0 \leq i \leq n+1) \quad \text{gdzie } h = (b - a)/(n - 1).$$

Oznaczmy przybliżoną wartość $x(t_i)$ przez y_i . Teraz możemy zapisać dyskretną postać rozważanego zagadnienia:

$$y_0 = \alpha,$$

$$h^{-2} (y_{i-1} - 2y_i + y_{i+1}) = f \left(t_i, y_i, (2h)^{-1} (y_{i+1} - y_{i-1}) \right) \quad (1 \leq i \leq n) \quad (55)$$

$$y_{n+1} = \beta$$

Mamy układ n równań z n niewiadomymi y_1, y_2, \dots, y_n . W ogólności może on być nieliniowy i **kłopotliwy do rozwiązania**.

Zagadnienie brzegowe – różnice skończone

Problem 55 upraszcza się w przypadku liniowym

$$f(t, x, x') = u(t) + v(t)x + w(t)x'$$

Teraz nasz układ możemy zapisać w postaci

$$y_0 = \alpha,$$

$$\left(1 + \frac{1}{2}hw_i\right)y_{i-1} - (2 + h^2v_i)y_i + \left(1 - \frac{1}{2}hw_i\right)y_{i+1} = h^2u_i \quad (1 \leq i \leq n) \quad (56)$$

$$y_{n+1} = \beta,$$

gdzie $u_i = u(t_i)$ itd.

Zagadnienie brzegowe – różnice skończone

Wprowadźmy oznaczenia

$$a_i = 1 + \frac{1}{2}hw_i \qquad d_i = -(2 + h^2v_i)$$

$$c_i = 1 - \frac{1}{2}hw_i \qquad b_i = h^2u_i$$

i zapiszmy układ w postaci

$$\begin{bmatrix} d_1 & c_1 & & & \\ a_1 & d_2 & c_2 & & \\ & \ddots & \ddots & \ddots & \\ & & a_{n-2} & d_{n-1} & c_{n-1} \\ & & & a_{n-1} & d_n \end{bmatrix} \begin{bmatrix} y_1 \\ y_2 \\ \vdots \\ y_{n-1} \\ y_n \end{bmatrix} = \begin{bmatrix} b_1 - a_0\alpha \\ b_2 \\ \vdots \\ b_{n-1} \\ y_n - c_n\beta \end{bmatrix} \quad (57)$$

Jest to układ z macierzą trójkątniową \Rightarrow algorytm **tri**.

Jeśli $v(t) > 0$, a h takie, że $|hw_i| \leq 2$, to macierz jest przekątniowo dominująca.

Zagadnienie brzegowe

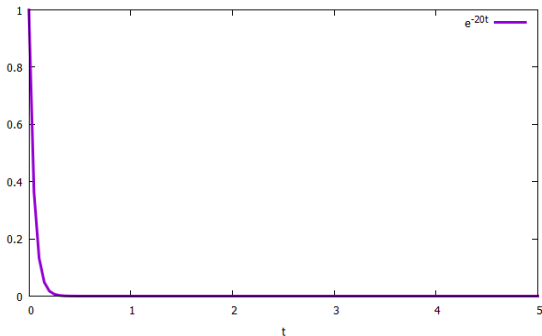
Inne metody:

- Kollokacja

Równania sztywne

Sztywność układu równań różniczkowych oznacza szybkie zanikanie rozwiązań w miarę wzrostu t .

- Pewne metody numeryczne, na ogół skuteczne, zawodzą dla równań sztywnych.
 - Stabilność rozwiązania można uzyskać tylko dla bardzo małych h



Równania sztywne - jawna metoda Eulera

$$x' = \lambda x, \quad x(0) = 1 \quad (58)$$

Rozwiązanie dokładne równania (55): $x(t) = e^{\lambda t}$.

Metoda Eulera:

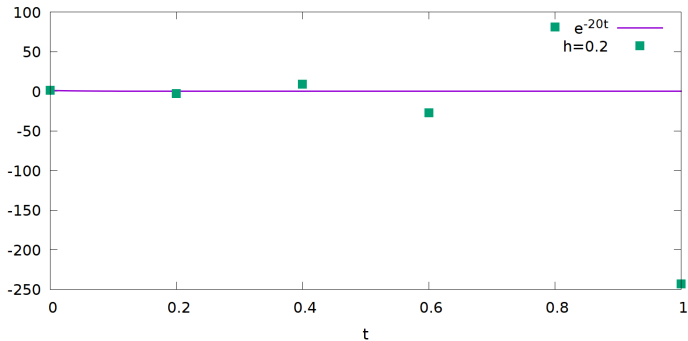
$$x_{n+1} = x_n + hf(t_n, x_n), \quad t_n = t_0 + nh, \quad (n \geq 0).$$

Dla problemu (55) otrzymamy:

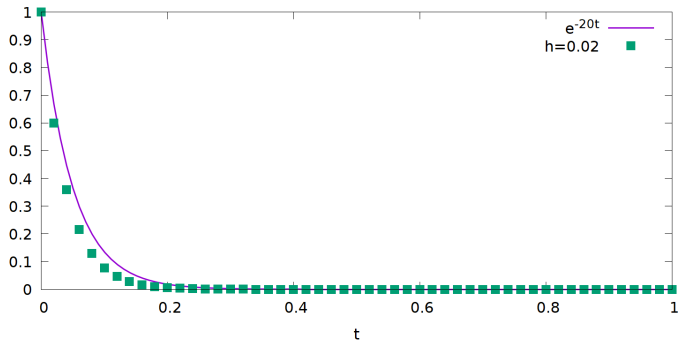
$$x_{n+1} = x_n + h\lambda x_n = (1 + h\lambda)x_n \Rightarrow x_n = (1 + h\lambda)^n \quad (59)$$

- rozwiązanie dokładne $x(t) = e^{\lambda t} \rightarrow 0$ dla $\lambda < 0$ i $t \rightarrow \infty$
- rozwiązanie numeryczne $x_n = (1 + h\lambda)^n \rightarrow 0$ dla $n \rightarrow \infty$ i $|1 + h\lambda| < 1$
 - $1 + h\lambda > -1 \Rightarrow h < -2/\lambda$
 - np. dla $\lambda = -20$ musi być $h < 0.1$

Równania sztywne - jawna metoda Eulera



Równania sztywne - jawna metoda Eulera



Równania sztywne - niejawna metoda Eulera

$$x_{n+1} = x_n + hf(t_{n+1}, x_{n+1}), \quad (n \geq 0) \quad (60)$$

Dla problemu (55)

$$x' = \lambda x, \quad x(0) = 1$$

otrzymamy

$$x_{n+1} = x_n + h\lambda x_{n+1}$$

$$x_{n+1} = (1 - h\lambda)^{-1} x_n$$

$$x_n = (1 - h\lambda)^{-n} \quad (61)$$

- dla $\lambda < 0$ wielkość (58) naśladuje zachowanie dokładnego rozwiązania jeśli $|1 - h\lambda|^{-1} < 1$, a tak jest dla każdego $h > 0$

Równania sztywne - niejawną metoda Eulera

